09

### Метод исследования пространственных корреляционных свойств стохастического волнового поля

© Л.А. Максимова, Д.В. Лякин, Н.Ю. Мысина, В.П. Рябухо

Институт проблем точной механики и управления Федерального исследовательского центра "Саратовский научный центр РАН",

410028 Саратов, Россия e-mail: MaksimovaLA@yandex.ru

Поступило в Редакцию 26 декабря 2024 г. В окончательной редакции 26 декабря 2024 г. Принято к публикации 26 декабря 2024 г.

Предложен и апробирован метод исследования пространственных корреляционных свойств стохастического волнового поля с широким угловым спектром на основе корреляционного анализа реализации пространственного распределения комплексной амплитуды этого поля, сформированного с помощью численного моделирования. Сравнение результатов определения поперечных корреляционных свойств монохроматического поля в различных его сечениях на основе предложенного метода с результатами, получаемыми на основе аналитических формул, показало их очень хорошее совпадение. Численно выполнено моделирование распределения комплексной амплитуды волнового поля оптического диапазона с широким угловым спектром пространственных гармоник при различных интервалах вариации случайных начальных фаз гармоник в диапазоне от 0 до  $2\pi$  радиан. Исследованы численно корреляционные свойства флуктуационных компонент образующихся полей возмущений в поперечной плоскости волнового поля. Установлено, что длина поперечной корреляции флуктуаций поля не изменяется при изменении интервала разности начальных фаз. Исследования показали, что поперечная пространственная когерентность — форма функции когерентности и длина когерентности, квазимонохроматического волнового поля определяется величиной числовой апертуры и формой его углового спектра.

**Ключевые слова:** угловой спектр, корреляционный анализ, пространственное распределение комплексной амплитуды, численное моделирование.

DOI: 10.61011/JTF.2025.05.60291.465-24

### Введение

Поверхности природных, технических и биологических объектов, как правило, не гладкие с оптической точки зрения. Неровности поверхностей часто сравнимы с длиной волны оптического излучения, и поэтому они рассеивают свет. При освещении таких поверхностей лазерным (когерентным) излучением в отраженном поле возникают спекл-структуры, представляющие собой результат интерференции волн от отдельных неоднородностей поверхности [1-5]. Пространственные вариации толщины объекта, показателя преломления, отражательной или поглощательной способности среды также приводят к рассеянию света. Лазерное излучение обладает высокой степенью пространственной и временной когерентности, поэтому световые волны, образующиеся при рассеянии такого излучения оптически неоднородным объектом, способны интерферировать, поскольку они оказываются взаимно когерентными. Поэтому практически всегда при рассеянии лазерного излучения волновые поля, формирующиеся в свободном пространстве и в оптических системах, оказываются спекл-модулированными [1–5].

На практике, что всегда имеет место, излучатели испускают немонохроматические волны разной ча-

стоты, и в излучении такого источника возникает динамическая спекл-структура, которая имеет стохастический характер с временем флуктуаций (временем когерентности)  $au_c$ , обратно пропорциональным ширине  $\Delta \omega$  частотного спектра такого излучения,  $\tau_c \approx 2\pi/\Delta\omega$  [6–8]. Это примерное время квазистационарности мгновенных спекл-структур. Излучение квазимонохроматического источника при ширине частотного спектра  $\Delta \lambda = 2 \cdot 10^{-4} \, \mu \mathrm{m}$  и средней длине волны  $\lambda_0 = 0.55\,\mu\mathrm{m}$  имеет время когерентности  $\tau_c = l_c/c = \lambda_0^2/c\Delta\lambda \approx 10^{-11}\,\mathrm{s}$ . В реальных условиях мгновенные спекл-структуры оказываются экспериментально ненаблюдаемыми в силу малости времени когерентности  $au_c$  и относительно большого времени реакции существующих фотодетекторов. За время порядка одной микросекунды (такого порядка приблизительно минимальное время реакции существующих фототодетекторов) происходит смена  $N \approx 10^5$  реализаций мгновенных спекл-модулированных картин, и регистрируется изображение, усредненное по N реализациям мгновенных спекл-модулированных картин.

Однако мгновенные спекл-структуры могут быть численно смоделированы и исследованы качественно и количественно с использованием интегральных дифракционных преобразований полей [9,10]. В работе [11]

с помощью численного эксперимента показано, что в частично когерентном оптическом волновом поле всегда формируются мгновенные спекл-структуры, изменяющиеся во времени, которые определяют пространственновременные флуктуации поля и соответственно его пространственные когерентные свойства.

Математическое моделирование является инструментом для исследования процессов, происходящих в различных оптических системах [12–16]. Моделирование процессов формирования волновых полей в свободном пространстве и в оптических системах позволяет исследовать свойства этих полей и оптических систем, их формирующих, например, в оптической высокоразрешающей интерференционной микроскопии [17-19]. Дифракционные процессы, имеющие место в оптических системах, являются основой для моделирования сложных измерительных сигналов в интерференционных измерительных системах и получения точных результатов для исследований на системном уровне [20,21]. В настоящее время моделирование является основой развития достаточно новых методов формирования изображений, таких, как безлинзовые методы получения изображений, например, птихография [22], и методы фантомных изображений [23]. При этом часто использующееся параксиальное приближение дифракционных интегралов, использующихся для описания волновых полей, уже не удовлетворяет задачам описания волновых полей с широкими угловыми спектрами [22].

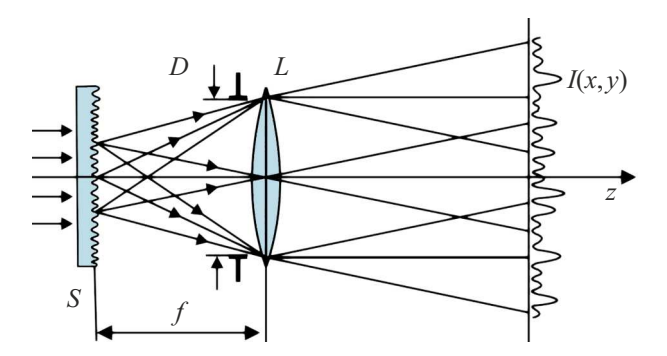
Количественная оценка декорреляции волновых оптических полей с широкими частотными и угловыми спектрами в оптических системах важна с прикладной точки зрения при прохождении таких полей через границы раздела сред с различными показателями преломления [24,25], для развития методов корреляционной интерференционной микроскопии [18,19,26,27], для определения геометрических и оптических параметров объектов [28,29], для оценки влияния оптических полей на биологические объекты на клеточном уровне [30], для анализа волновых полей терагерцового диапазона, при формировании полей с большой числовой апертурой [31].

Цель настоящей работы состояла в разработке и апробации метода исследования пространственных корреляционных свойств квазимонохроматического волнового поля с широким угловым спектром на основе численного моделирования и корреляционного анализа пространственных распределений комплексной амплитуды этого поля в его сечениях без привлечения параксиального приближения и в разработке методов исследования пространственных корреляционных свойств волновых полей на основе их компьютерного моделирования как альтернативы или дополнения натурному эксперименту. Целью работы также являлось исследование с помощью предложенного метода корреляционного анализа влияния ширины углового спектра волнового поля на поперечные корреляционные свойства этого поля.

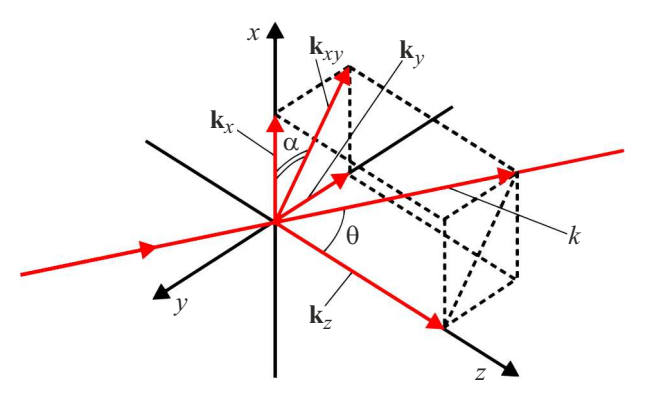
## 1. Метод численного моделирования оптических спекл-модулированных волновых полей и дифракционных структур в дальней области дифракции

Пространственно частично когерентное волновое поле создается протяженным пространственно-некогерентным или частично когерентным полихроматическим источником света [6,7]. В дифракционной области таких источников формируется пространственно частично когерентное волновое поле с ограниченными длинами пространственной когерентности, которые определяются и шириной углового спектра, и шириной частотного спектра этого поля [32]. Пространственно некогерентными самосветящимися первичными источниками волнового поля являются тепловые источники света, газоразрядные лампы, светодиоды, имеющие широкий частотный спектр излучения. В соответствии с принципом Гюгенса-Френеля формируются вторичные протяженные источники света, на практике, например, тонкий рассеиватель или зрачок оптической системы, которые могут служить источником частично-когерентного волнового поля.

При когерентном освещении рассеивателя элементарные рассеянные вторичные волны оказываются взаимно когерентными и интерферируют в пространстве. В рассеянном волновом поле формируется нерегулярная интерференционная спекл-модулированная структура, имеющая выраженный стохастический характер по причине случайного пространственного расположения рассеивающих центров и их случайных оптических свойств [1–5]. Если рассеиватель неподвижен и неизменны во времени его рассеивающие элементарные центры, то сформированные в рассеянном поле спекл-модулированные структуры имеют стационарный характер. В ином случае в рассеянном поле формируется динамическая спеклструктура [1,4]. На рис. 1 представлена оптическая схема формирования спекл-модулированной картины в плоскости х, у в дальней области дифракции при рассеянии лазерного когерентного излучения.



**Рис. 1.** Схема формирования спекл-структуры в дальней области дифракции.



**Рис. 2.** Волновой вектор плоской волны, падающей под углом  $\theta$  к оси z, и его компоненты в трехмерном пространстве.

Поле комплексных амплитуд E(x,y,z,t=0) в дальней области дифракции можно определить как суперпозицию плоских волн для всех составляющих частотного спектра этого поля со всевозможными пространственными частотами  $(k_x,k_y,k_z)$  в пределах углового спектра поля с заданной числовой апертурой  $NA_i$  со случайными начальными фазами пространственных гармоник  $\varphi_0(k_x,k_y)$  в диапазоне от 0 до  $2\pi$  радиан:

$$E(x, y, z, t = 0) \sim \int_{k_1}^{k_2} g(k) \left[ \iint E(k_x, k_y) P(k_x, k_y) \right]$$

$$\times \exp[i(k_x x + k_y y + k_z z)] dk_x dk_y \Big] dk, \tag{1}$$

где g(k) — частотный спектр,  $P(k_x,k_y)$  — функция апертуры углового спектра волнового поля,  $E(k_x,k_y)=A(k_x,k_y)\exp(\varphi_0(k_x,k_y))$  — комплексная амплитуда плоской волны,  $k=2\pi/\lambda$  — волновое число, соответствующее длине волны  $\lambda$  монохроматического волнового поля;  $k_x$ ,  $k_y$  и  $k_z$  — пространственные частоты — проекции волнового вектора  $\mathbf k$  на оси X, Y и Z соответственно, которые могут быть выражены следующим образом:

 $k_x = k \cos \alpha \sin \theta$ ,

$$k_{y} = k \sin \alpha \sin \theta,$$

$$k_z = \sqrt{k^2 - k_x^2 - k_y^2} = k \cos \theta,$$
 (2)

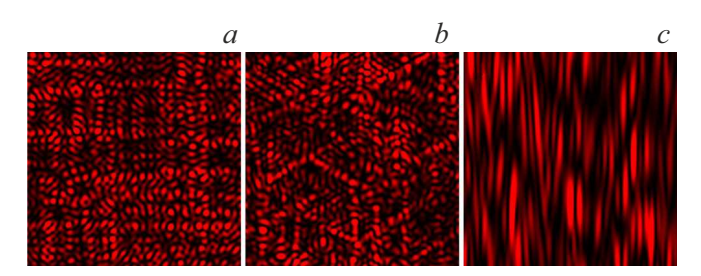
где  $\alpha$  и  $\theta$  — азимутальный и зенитный углы, задающие направление волнового вектора  $\mathbf{k}$  в пространстве (рис. 2). Азимутальный угол  $\alpha$  изменяется в пределах от 0 до  $2\pi$ , зенитный угол  $\theta$  — в пределах от 0 до некоторого апертурного угла  $\theta_A$ , равного  $\theta_{\text{max}}$  — максимальному углу распространения плоских волн, суперпозиция которых составляет волновое поле (1).

Формулу (1), определяющую поле комплексных амплитуд волнового поля E(x,y,z,t=0), можно записать в дискретном виде

$$E(x, y, z, t=0) \sim \sum_{k=k_1}^{k_2} \sum_{k_y=k_y \text{ min } k_x=k_y \text{ min } k_y=k_y \text{ min } k$$

$$\times \exp(\varphi_0(k_x, k_y)) \exp[i(k_x x + k_y y + k_z z)]. \tag{3}$$

На основе формулы (3) с дискретным представлением волнового поля было выполнено численное моделирование спекл-модулированных дифракционных структур. Формирование волнового поля было выполнено сложением и интерференцией плоских волн всевозможных направлений в пределах числовой апертуры волнового поля для всех составляющих частотного спектра. Для моделирования прямоугольной формы апертуры в процессе формирования волнового поля складывались плоские волны со всеми дискретными значениями  $k_v$  и  $k_x$  в интервалах  $k_{v \min} - k_{v \max}$  и  $k_{x \min} - k_{x \max}$  соответственно, в границах прямоугольной числовой апертуры  $NA_i$ , которой соответствует волновой вектор  $\mathbf{k}_{NAi}$ . Для моделирования апертуры криволинейной формы, например круглой, сначала определялась квадратная область с заданной числовой апертурой  $NA_i$  по сторонам квадрата, затем в этой области выбирались все точки в пределах вписанного в эту область круга с дискретными значениями  $k_{v}$ и  $k_x$ , которые удовлетворяют условию  $k_{xy} \leq |\mathbf{k}_{NAi}|$ ,  $k_{xy} = \sqrt{k_x^2 + k_y^2}$  — проекция волнового вектора **k** на плоскость (x, y) (рис. 2). Аналогичным образом могут быть смоделированы угловые апертуры поля более сложной формы. На рис. 3 представлены фрагменты смоделированных изображений спекл-структур в плоскости (x, y) для квазимонохроматического волнового поля  $\Delta k \approx 0$ , которые представляют собой распределение интенсивности спекл-модулированного поля  $I(x, y) = |E(x, y)|^2$ .



**Рис. 3.** Фрагменты спекл-модулированных дифракционных структур, смоделированных в численном эксперименте,  $\lambda_0=0.63\,\mu\mathrm{m},~\Delta k\approx0,~\mathrm{c}$  апертурой углового спектра поля в форме: a — кольцевого квадрата, b — кольцевого треугольника, c — прямоугольника.

## 2. Метод исследования пространственной когерентности волнового поля на основе корреляционного анализа пространственного распределения его комплексной амплитуды

Минимальные поперечные  $arepsilon_{\perp}$  и продольные  $arepsilon_{\parallel}$  размеры мгновенных спеклов определяют соответственно длины поперечной  $ho_{\perp}$  и продольной  $L_c$  пространственной когерентности волнового поля [33]. Размер спеклов совпадает с размером области поперечной корреляции рассеянного поля, поскольку в пределах отдельного спекла амплитуда и фаза поля остаются приблизительно неизменными. Поперечная длина когерентности  $ho_{\perp}$  определяется средней длиной волны  $\lambda_0$  частотного спектра и шириной углового спектра  $2\theta_i$  волнового поля [7,9]. Зависимость  $\rho_{\perp}$  от ширины частотного спектра проявляется только при достаточно большой ширине частотного спектра [32,34] и малой числовой апертуре  $NA_i$ . Величина поперечной корреляции волнового поля с квадратной апертурой углового спектра определяется формулой [32,34]:

$$\rho_{\perp} \approx \frac{\lambda_0^2}{n_1(2\lambda_0 + \Delta\lambda)\sin(\theta_i)} \approx \frac{\lambda_0}{2n_1\sin(\theta_i)} = \frac{\lambda_0}{2NA_i}, \quad (4)$$

где  $\Delta\lambda$  — ширина частотного спектра в шкале длин волн. Для длины поперечной корреляции монохроматического волнового поля с круглой апертурой углового спектра можно записать выражение [32,34]:

$$\rho_{\perp} \approx 1.22 \frac{\lambda_0}{2n_1 \sin(\theta_i)} = 1.22 \frac{\lambda_0}{2NA_i},\tag{5}$$

Минимальные продольные размеры мгновенных спеклов  $\varepsilon_{\parallel}$ , и, следовательно, продольная длина когерентности  $L_c$  определяются и шириной частотного, и шириной углового спектров поля [32,34]:

$$L_c \approx \left[\frac{\Delta \lambda}{\lambda_0^2} n_1 + \frac{2n_1}{\lambda_0} \sin^2 \left(\frac{\theta_i}{2}\right)\right]^{-1} \approx \left[\frac{1}{l_c} + \frac{1}{\rho_{\parallel}}\right]^{-1}, \quad (6)$$

где  $l_c$  — длина временной когерентности волнового поля в среде с показателем преломления  $n_1$ 

$$l_c \approx v \tau_c \approx \frac{\lambda_0^2}{n_1 \Delta \lambda} = \frac{l_{cv}}{n_1},$$
 (7)

v — скорость света в среде,  $\tau_c$  — время когерентности,  $l_{cv}$  — длина временной когерентности волнового поля в вакууме,  $\rho_{\parallel}$  — длина продольной когерентности волнового поля в среде, зависящая только от ширины углового спектра:

$$\rho_{\parallel} \approx \frac{\lambda_0}{2n_1 \sin^2(\theta_i/2)} = \frac{\lambda_0}{n_1 - \sqrt{n_1^2 - NA_i^2}}.$$
(8)

Корреляционные свойства спекл-модулированного поля, как некоторого пространственного случайного поля, могут быть установлены с помощью автокорреляционной функции согласно теореме автокорреляции [5,10]. Для нахождения функции автокорреляции  $\Gamma(\Delta x, \Delta y)$  волнового поля E(x,y) в плоскости x,y можно записать выражение

$$\mathbf{F}\{\Gamma(\Delta x, \Delta y)\} = \mathbf{F}\left\{\iint E(x, y)E^*(x - \Delta x, y - \Delta y)dxdy\right\}$$
$$= \mathbf{F}\{E(x, y)\} \cdot [\mathbf{F}\{E(x, y)\}]^* = |\mathbf{F}\{E(x, y)\}|^2$$
$$= |E(k_x, k_y)|^2 = I(k_x, k_y),$$
(9)

где  $\Gamma(\Delta x, \Delta y) = \iint [E(x,y)E^*(x-\Delta x,y-\Delta y)dxdy$  — функция автокорреляции поля комплексных возмущений  $E(x,y), E(k_x,k_y)$  — комплексный пространственный частотный спектр поля возмущений,  $I(k_x,k_y)$  — пространственный частотный спектр по интенсивности (мощности),  $\mathbf{F}$  — прямое преобразование Фурье, \* — знак комплексного сопряжения.

К обеим частям уравнения (9) применим обратное фурье-преобразование

$$\mathbf{F}^{-1}\{\mathbf{F}\{\Gamma(\Delta x, \Delta y)\}\} = \mathbf{F}^{-1}\{\mathbf{F}\{E(x, y)\} \cdot [\mathbf{F}\{E(x, y)\}]^*\}$$
$$= \mathbf{F}^{-1}\{|\mathbf{F}\{E(x, y)\}|^2\},$$
(10)

откуда получаем формулу для расчета функции автокорреляции по рассчитанному полю комплексных амплитуд E(x, y):

$$\Gamma(\Delta x, \Delta y) = \mathbf{F}^{-1} \{ \mathbf{F} \{ E(x, y) \} \cdot [\mathbf{F} \{ E(x, y) \}]^* \}$$

$$= \mathbf{F}^{-1} \{ |\mathbf{F} \{ E(x, y) \}|^2 \} = \mathbf{F}^{-1} \{ |E(k_x, k_y)|^2 \}$$

$$= \mathbf{F}^{-1} \{ I(k_x, k_y) \}, \tag{11}$$

где

$$\mathbf{F}^{-1}\{I(k_x, k_y)\} = \iint I(k_x, k_y) \exp[-i(k_x \Delta x + k_y \Delta y)] dk_x dk_x.$$

Выражение (11), записанное в укороченном виде, представляет собой теорему Винера-Хипчина [6]:

$$\Gamma(\Delta x, \Delta y) = \iint I(k_x, k_y) \exp[-i(k_x \Delta x + k_y \Delta y)] dk_x dk_x.$$
(12)

Функцию (11) автокорреляции волнового поля в плоскости XY, проходящей через точку z=0, в момент времени t=0, можно записать в дискретном виде

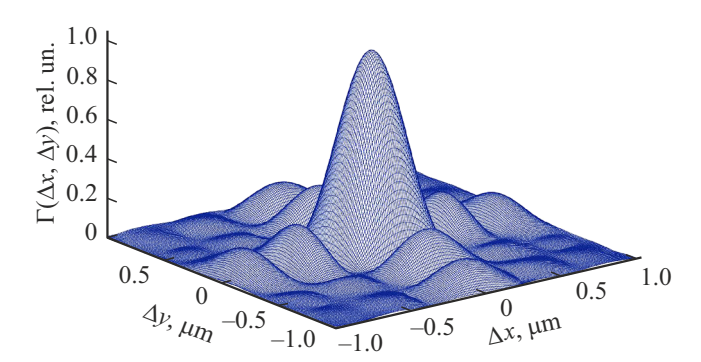
$$\Gamma(\Delta x, \Delta y, z = 0, t = 0)$$

$$= \sum_{x=x_1}^{x_2} \sum_{y=y_1}^{y_2} E(x, y, z = 0, t = 0)$$

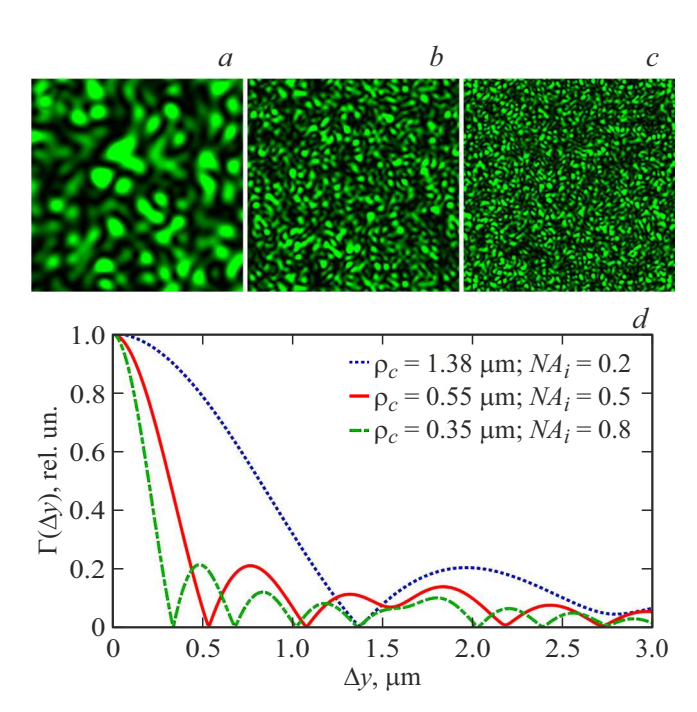
$$\times E^*(\Delta x - x, \Delta y - y, z = 0, t = 0)$$

$$= \mathbf{F}^{-1} \Big\{ \mathbf{F}(E(x, y, z = 0, t = 0))$$

$$\times \left[ \mathbf{F}(E(x, y, z = 0, t = 0)) \right]^* \Big\}. \tag{13}$$



**Рис. 4.** Функция корреляции комплексной амплитуды волнового поля в поперечном сечении;  $\lambda_0=0.55\,\mu\mathrm{m}$ ,  $\Delta k\approx 0$ , квадратная апертура углового спектра поля, числовая апертура  $NA_i=0.5$ .



**Рис. 5.** Смоделированные спекл-картины волнового поля в поперечном сечении для квадратной апертуры углового спектра с числовой апертурой  $NA_i$ , равной:  $a-0.2,\ b-0.5,\ c-0.8$ ; размер фрагментов спекл-картин  $20\times 20\,\mu\mathrm{m}$ . Функции поперечной корреляции поля (d):  $\rho_c-$  длина поперечной корреляции поля (координата первого минимума  $\Gamma(\Delta y)$ ),  $\lambda_0=0.55\,\mu\mathrm{m},\ \Delta k\approx 0$ .

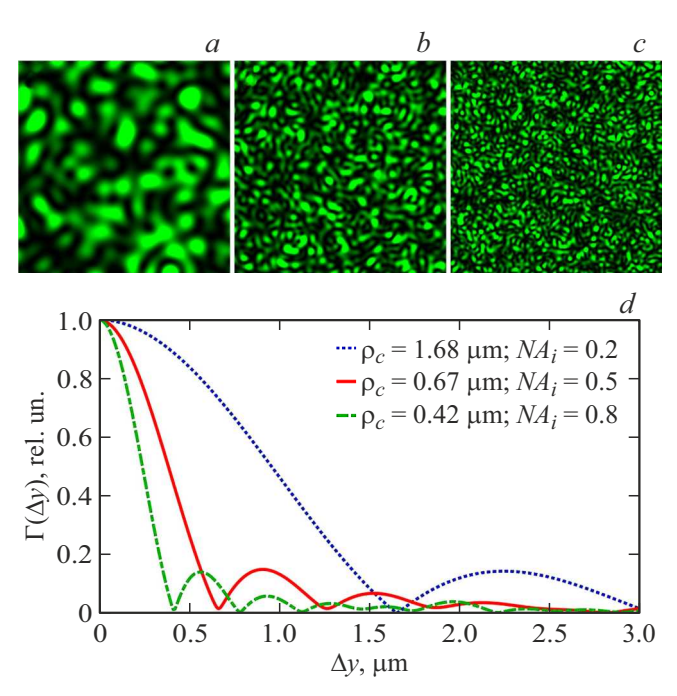
Формула (13) была использована в численных расчетах функции автокорреляции волнового спеклмодулированного поля. Нормированная трехмерная автокорреляционная функция спекл-поля, функция апертуры углового спектра которого имеет форму квадратного кольца, рассчитанная по формуле (13), представлена на рис. 4.

В натурном и численном экспериментах поперечные размеры спеклов и, следовательно, длины поперечной  $\rho_{\perp}$  и продольной  $L_c$  пространственной когерентности

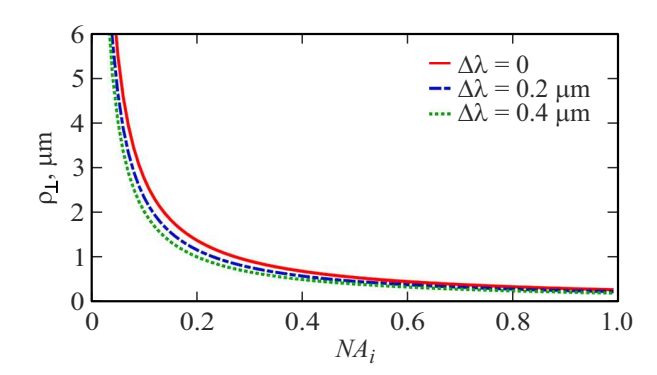
волнового поля можно определить по ширине функции автокорреляции спекл-поля, как половине ширины центрального максимума функции. Применение в численном эксперименте алгоритма быстрого фурьепреобразования для вычисления функции автокорреляции существенно сокращает время вычисления корреляционных параметров волнового поля.

## 3. Исследование поперечной корреляции квазимонохроматического волнового поля с широким угловым спектром

В разд. 3 представлены результаты исследования, полученные с помощью численного моделирования корреляционных свойств волнового поля в его поперечном сечении. Смоделированное в численном эксперименте поле комплексных амплитуд E(x,y) в поперечном сечении, согласно формуле (3), формировалось как суперпозиция плоских волн со всевозможными пространственными частотами  $k_x, k_y$  в пределах пространственного спектра поля с заданной угловой числовой апертурой NA со случайными начальными фазами  $\phi_0(k_x,k_y)$  в диапазоне от 0 до  $2\pi$  радиан. Фрагменты смоделированных спекл-модулированных картин представлены на рис. 5, a-c и 6, a-c.



**Рис. 6.** Смоделированные спекл-картины волнового поля в поперечном сечении для круглой апертуры углового спектра с числовой апертурой  $NA_i$ , равной:  $a=0.2,\ b=0.5,\ c=0.8$ ; размер фрагментов спекл-картин  $20\times 20\,\mu\mathrm{m}$ . Функции поперечной корреляции поля (d):  $\rho_c=$  длина поперечной корреляции поля (координата первого минимума  $\Gamma(\Delta y)$ ),  $\lambda_0=0.55\,\mu\mathrm{m}$ ,  $\Delta k\approx 0$ .



**Рис. 7.** Зависимость поперечной длины когерентности от числовой апертуры при различных значениях ширины частотного спектра.

Функция поперечной корреляции волнового поля рассчитывалась по формуле (11). В численном эксперименте исследовалось влияние числовой апертуры на величину корреляции поля. На рис. 5,d и 6,d представлены нормированные функции поперечной корреляции смоделированного волнового поля при числовой апертуре, имеющей разную величину и форму.

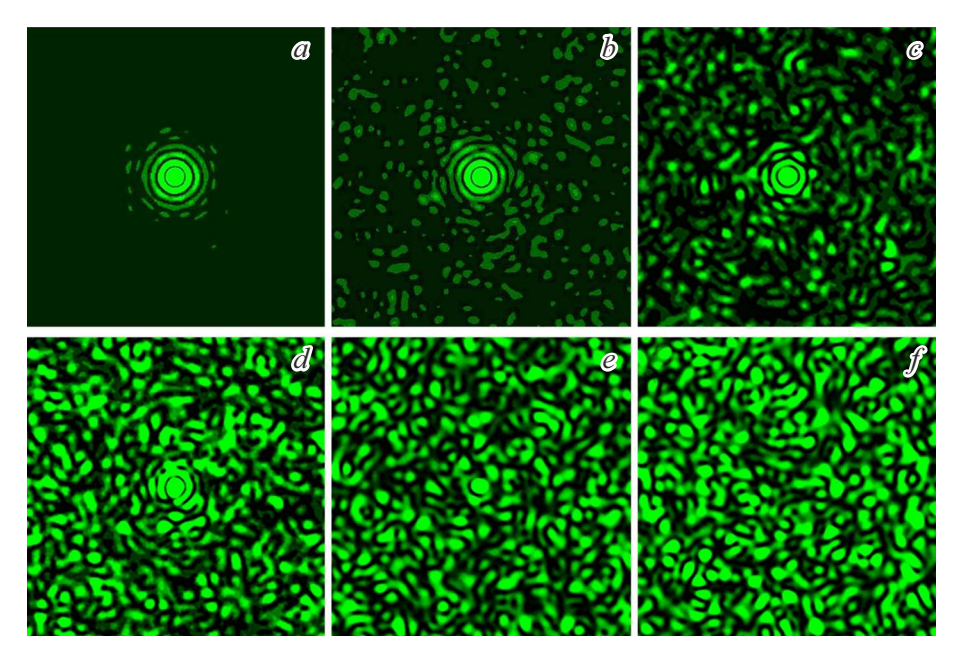
На рис. 7 представлены графики зависимости поперечной длины когерентности от числовой апертуры  $\rho_{\perp}(\sin\theta)=\rho_{\perp}(NA_i)$ , построенные по формуле (4), при различных значениях ширины частотного спектра в шкале длин волн  $\Delta\lambda$ .

Длины когерентности  $\rho_c$ , определяемые по графикам функции когерентности  $\Gamma(\Delta y)$  (рис. 5, d и 6, d), в численном эксперименте с высокой точностью со-

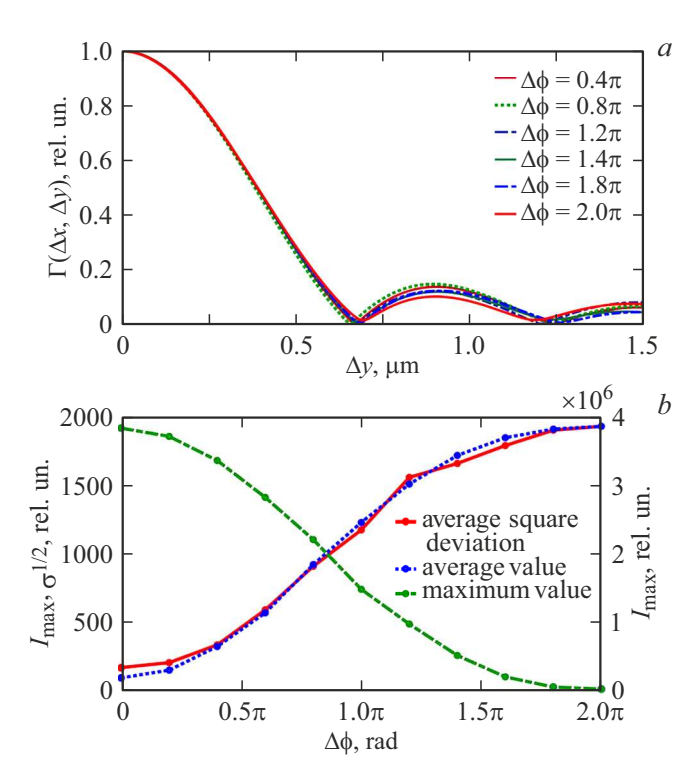
ответствуют теоретическим значениям, определяемым по формуле (4). Точность определения  $\rho_c$  зависит от соотношения размера  $B_y$  анализируемого поля и размеров пространственных флуктуаций — спеклов поля,  $\varepsilon_y \approx \rho_c$ . Величина разброса  $\Delta\rho_c$  значений  $\rho_c$ , получаемых для разных реализациях поля, уменьшается с ростом отношения  $B_y/\varepsilon_y$ , поскольку в этом случае возрастает эффективность операции усреднения, используемой для вычисления функции корреляции поля  $\Gamma(\Delta y)$  (рис. 6, d). Например, при относительно большой числовой апертуре поля  $NA_i=0.2$  имеем крупные спеклы,  $\rho_c\approx 1.68~\mu\text{m}$ , и получаем  $\Delta\rho_c\approx 0.09~\mu\text{m}$ , тогда как при  $NA_i=0.8$  имеем более мелкие спеклы,  $\rho_c\approx 0.42~\mu\text{m}$ , и величину разброса  $\Delta\rho_c\approx 0.02~\mu\text{m}$  при том же размере  $B_y$  анализируемого поля.

# Исследование поперечной корреляции квазимонохроматического волнового поля с широким угловым спектром при различных интервалах Δφ случайных начальных фаз

В настоящей работе был выполнен численный эксперимент по исследованию процессов формирования спекл-структур в поперечном сечении волнового поля с круглой апертурой с постепенным увеличением интервала случайных начальных фаз  $\Delta \varphi$  плоских волн, из совокупности которых формируется волновое поле. Фраг-



**Рис. 8.** Фрагменты смоделированных спекл-картин волнового поля в поперечном сечении для круглой апертуры; интервал случайных начальных фаз  $\Delta \phi$  и яркость спекл-картины:  $a - 0.4\pi$ , +95%;  $b - 0.8\pi$ , +95%;  $c - 1.2\pi$ , +95%;  $d - 1.4\pi$ , +95%;  $e - 1.8\pi$ , +60%;  $f - 2\pi$ , +30%;  $\lambda_0 = 0.55\,\mu\text{m}$ ,  $\Delta k \approx 0$ , круглая форма апертуры углового спектра с  $NA_i = 0.5$ , размер фрагментов спекл-картин —  $20 \times 20\,\mu\text{m}$ .



**Рис. 9.** Степень корреляции комплексной амплитуды волнового поля в поперечном сечении (a); статистические характеристики распределения интенсивности волнового поля в поперечном сечении (b);  $\Delta \phi$  — интервал случайных начальных фаз гармонических составляющих поля,  $\lambda_0=0.55\,\mu\text{m},~\Delta k\approx 0$ , круглая форма апертуры углового спектра  $NA_i=0.5$ .

менты сформированных спекл-структур при различных интервалах  $\Delta \phi$  случайных начальных фаз представлены на рис. 8.

Как видно из рисунка, развитое спекл-поле формируется при интервале распределения случайных начальных фаз  $\Delta \varphi = 2\pi$  rad (рис. 8, f), при небольшом интервале  $\Delta \varphi$ наблюдается ярко выраженный максимум нулевого порядка интерференции (рис. 8, a-c). При дальнейшем увеличении интервала  $\Delta \varphi$  наблюдается постепенное уменьшение максимума интенсивности в центре картины (рис. 8, d, e) и переход к развитой спекл-картине при интервале  $\Delta \varphi = 2\pi \, \text{rad}$ . На рис. 9 представлены нормированные функции поперечной корреляции смоделированных волновых полей вдоль координаты  $\Delta y$ соответственно для фрагментов спекл-картин, которые представлены на рис. 8. Как видно из графиков, длины поперечной корреляции поля  $ho_c$  (координаты первого минимума  $\Gamma(\Delta y)$ ) практически совпадают при всех интервалах случайных начальных фаз плоских волн  $\Delta \varphi$ .

Результаты численного моделирования показывают, что поперечная длина когерентности квазимонохроматического волнового поля, получаемого при суперпозиции плоских волн с разными случайными фазами  $\Delta \varphi$ , не зависит от интервала вариации фаз — дисперсии фаз, а зависит от ширины и формы углового спектра волнового поля.

### Заключение

В работе предложен и апробирован метод исследования пространственных корреляционных свойств стохастического волнового поля с широким угловым спектром на основе корреляционного анализа реализации пространственного распределения комплексной амплитуды этого волнового поля, сформированного (рассчитанного) с помощью численного моделирования. Сравнение результатов определения поперечных корреляционных свойств монохроматического поля на основе корреляционного анализа смоделированных распределений комплексной амплитуды этого поля с результатами, получаемыми на основе аналитических формул, показало их очень хорошее совпадение. С помощью предложенного метода в работе показано, что поперечная пространственная когерентность — форма функции когерентности и длина когерентности квазимонохроматического волнового поля — определяется величиной числовой апертуры и формой его углового спектра.

В работе выполнено численное моделирование распределения комплексной амплитуды квазимонохроматического волнового поля в поперечном сечении при интервале случайных начальных фаз гармонических составляющих поля в диапазоне от 0 до  $2\pi$  радиан. Исследования показали, что длина поперечной корреляции флуктуаций поля зависит от ширины и формы углового спектра волнового поля и не изменяется при изменении интервала разности начальных фаз пространственных гармонических составляющих поля.

Исследования показали, что численное моделирование является инструментом, который в достаточно высокой степени соответствует реальным процессам формирования спекл-структур и их пространственных спектров, и является хорошим дополнением к реальному эксперименту в проводимых исследованиях [35,36]. Это обстоятельство является важным фактором, поскольку при реализации натурного эксперимента могут возникать определенные трудности технического характера, связанные с подготовкой и реализацией эксперимента. Исследования показали эффективность и перспективность численных методов формирования оптических спекл-модулированных волновых полей и дифракционных структур и изучения пространственных корреляционных свойств стохастического волнового поля с широким угловым спектром для дальнейшего развития и использования предложенных численных методов в качестве альтернативы и дополнения натурному эксперименту.

#### Финансирование работы

Работа выполнена в рамках государственного задания Министерства науки и высшего образования Российской Федерации (тема № 121022000123-8 Прецизионная диагностика, сенсорика и управление процессами в техниче-

ских и живых системах на основе фотонных технологий, включая решение теплофизических проблем).

### Конфликт интересов

Авторы заявляют, что у них нет конфликта интересов.

### Список литературы

- [1] J.W. Goodman. Speckle Phenomena in Optics: Theory and Applications (SPIE PRESS, Washington, 2020)
- [2] M. Françon. La granularute laser (spekle) et ses applications en optique (Masson, Paris, 1978)
- [3] J.C. Dainty, ed. *Laser Speckle and Related Phenomena* (Springer Science & Business Media, 2013)
- [4] H.J. Rabal, R.A. Braga, ed. Dynamic Laser Speckle and Applications (CRC Press, Taylor and Francis Group, NY., 2009)
- [5] Г.Р. Локшин. Основы радиооптики (Интеллект, М., 2009)
- [6] L. Mandel, E. Wolf. Optical Coherence and Quantum Optics (Cambridge University Press, NY., 1995)
- [7] J.W. Goodman. Statistical Optics (Wiley, 2000)
- [8] С.А. Ахманов, Ю.Е. Дьяков, А.С. Чиркин. Статистическая радиофизика и оптика. Случайные колебания и волны в линейных системах (Физматлит, М., 2010)
- [9] M. Born, E. Wolf. *Principles of Optics* (Cambridge University Press, NY., 2002)
- [10] J.W. Goodman. Introduction to Fourier Optics (Roberts & Company Publishers, 2005)
- [11] В.П. Рябухо, Л.А. Максимова, Н.Ю. Мысина, Д.В. Лякин, П.В. Рябухо. Опт. и спектр., **126** (2), 186 (2019). DOI: 10.21883/OS.2019.02.47202.226-18 [V.P. Ryabukho, L.A. Maksimova, N.Yu. Mysina, D.V. Lyakin, P.V. Ryabukho. Opt. Spectr., **126** (2), 124 (2019). DOI: 10.1134/S0030400X19020218]
- [12] P. De Groot, X. Colonna de Lega, J. Kramer, M. Turzhitsky. Appl. Opt., 43 (25), 4821 (2004). DOI: 10.1364/AO.43.004821
- [13] T. Pahl, S. Hagemeier, M. Künne, D. Yang, P. Lehmann. Opt. Exp., 28 (28), 39807 (2020). DOI: 10.1364/OE.411167
- [14] P.J. De Groot, X. Colonna de Lega. J. Opt. Soc. Am. A, 37 (9), B1 (2020). DOI: 10.1364/JOSAA.390746
- [15] M.J. Simpson. J. Opt. Soc. Am. A, 40 (7), D7 (2023). DOI: 10.1364/JOSAA.488033
- [16] J.C. Ranasinghesagara, E.O. Potma, V. Venugopalan. J. Opt. Soc. Am. A, 40 (5), 883 (2023).
   DOI: 10.1364/JOSAA.478713
- [17] W. Osten, ed. *Optical Inspection of Microsystems* (CRC Press, Taylor and Francis Group, NY., 2007)
- [18] W. Gao. J. Mod. Opt., 62 (21), 1764 (2015).
  DOI: 10.1080/09500340.2014.952689
- [19] I. Abdulhalim. Ann. Phys., 524 (12), 787 (2012).DOI: 10.1002/andp.201200106
- [20] Ю.Н. Кульчин, О.Б. Витрик, А.А. Камшилин, Р.В. Ромашко. Адаптивные методы обработки спекл-модулированных оптических полей (Физматлит, М., 2009)
- [21] D.J. Burrell, M.F. Spencer, N.R. Van Zandt, R.G. Driggers. Appl. Opt., 60 (25), G64 (2021). DOI: 10.1364/AO.427963

- [22] Н.Л. Попов. И.А. Артюков, A.B. Виноградов, B.B. Протопопов. УФН, 190 (8),820 (2020).DOI: 10.3367/UFNr.2020.05.038775 N.L. Popov, I.A. Artyukov, A.V. Vinogradov, V.V. Protopopov. Phys. Usp., **63**, 766 (2020). DOI: 10.3367/UFNe.2020.05.038775]
- [23] Д.П. Агапов, И.В. Беловолов, С.А. Магницкий, Д.Н. Фроловцев, А.С. Чиркин. ЖЭТФ, **164** (5), 722 (2023). DOI: 10.31857/S0044451023110032 [D.P. Agapov, I.V. Belovolov, S.A. Magnitskii, D.N. Frolovtsev, A.S. Chirkin. JETP, **137** (5), 622 (2023). DOI: 10.1134/s1063776123110122]
- [24] V.V. Lychagov, V.P. Ryabukho, A.L. Kalyanov, I.V. Smirnov. J. Optics, 14 (1), 015702 (2012).
   DOI: 10.1088/2040-8978/14/1/015702
- [25] S. Labiau, G. David, S. Gigan, A.C. Boccara. Opt. Lett., **34** (10), 1576 (2009). DOI: 10.1364/OL.34.001576
- [26] A. Dubois. Appl. Opt., 56 (9), D142 (2017).DOI: 10.1364/AO.56.00D142
- [27] W. Gao. J. Microscopy, 261 (3), 199 (2016). DOI: 10.1111/jmi.12333
- [28] M. Ohmi, H. Nishi, T. Konishi, Y. Yamada, M. Haruna. Meas.
   Sci. Technol., 15 (8), 1531 (2004).
   DOI: 10.1088/0957-0233/15/8/017
- [29] Д.В. Лякин, Л.А. Максимова, А.Ю. Сдобнов, В.П. Рябухо. Опт. и спектр., **123** (3), 463 (2017). DOI: 10.7868/S0030403417090240 [D.V. Lyakin, L.A. Maksimova, A.Yu. Sdobnov, V.P. Ryabukho. Opt. Spectr., **123** (3), 487 (2017). DOI: 10.1134/S0030400X17090235]
- [30] А.В. Будаговский, М.В. Маслова, О.Н. Будаговская, И.А. Будаговский. Квант. электр., 47 (2), 158 (2017). [A.V. Budagovsky, O.N. Budagovskaya, M.V. Maslova, I.A. Budagovsky. Quant. Electr., 47 (2), 158 (2017). DOI: 10.1070/QEL16168]
- [31] Н.В. Черномырдин, А.О. Щадько, С.П. Лебедев, И.Е. Спектор, В.Л. Толстогузов, А.С. Кучерявенко, К.М. Малахов, Г.А. Командин, В.С. Горелик, К.И. Зайцев. Опт. и спектр., 124 (3), 420 (2018). DOI: 10.21883/OS.2018.03.45664.250-17 N.V. Chernomyrdin, A.O. Shchadko, S.P. Lebedev, I.E. Spektor, V.L. Tolstoguzov, A.S. Kucheryavenko, Malakhov, G.A. Komandin, V.S. K.M. Gorelik. K.I. Zaytsev. Opt. Spectr., 124 (3), 428(2018).DOI: 10.1134/S0030400X18030086]
- [32] Д.В. Лякин, Н.Ю. Мысина, В.П. Рябухо. Опт. и спектр., **124** (3), 348 (2018). DOI: 10.21883/OS.2018.03.45657.199-17 [D.V. Lyakin, N.Yu. Mysina, V.P. Ryabukho. Opt. Spectr., **124** (3), 349 (2018). DOI: 10.1134/S0030400X18030165]
- [33] Д.В. Лякин, П.В. Рябухо, В.П. Рябухо. Опт. и спектр., **122** (2), 336 (2017). DOI: 10.7868/S0030403417020179 [D.V. Lyakin, P.V. Ryabukho, V.P. Ryabukho. Opt. Spectr., **122** (2), 329 (2017). DOI: 10.1134/S0030400X17020175]
- [34] V.P. Ryabukho, D.V. Lyakin, A.A. Grebenyuk, S.S. Klykov. J. Optics, 15 (2), 025405 (2013).
   DOI: 10.1088/2040- 8978/15/2/025405
- [35] Л.А. Н.Ю. Патрушев, Максимова, Мысина. Б.А. В.П. Рябухо. ЖТФ, 93 (4),525 (2023).DOI: 10.21883/JTF.2023.04.55041.3-23 [L.A. Maksimova, N.Y. Mysina, B.A. Patrushev, V.P. Ryabukho. Tech. Phys., **68** (4), 490 (2023). DOI: 10.21883/TP.2023.04.55941.3-23]
- [36] R. Castañeda, J. Laverde, J. Moreno. Appl. Opt., **59** (13), D21 (2020). DOI: 10.1364/AO.381010